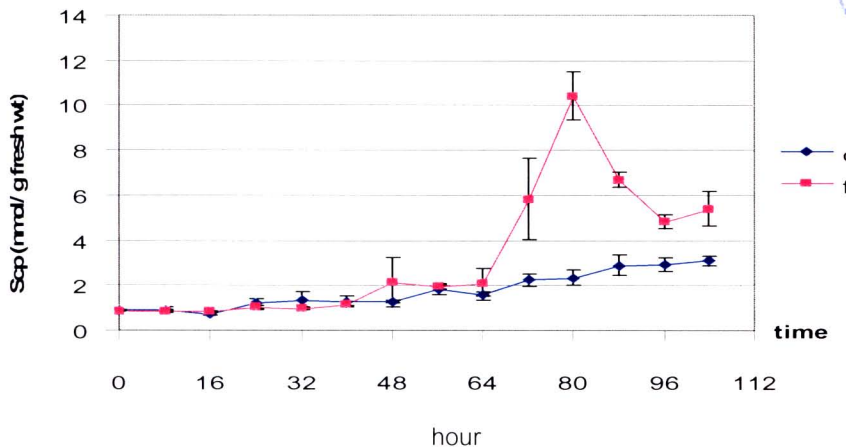


ผลการทดลอง

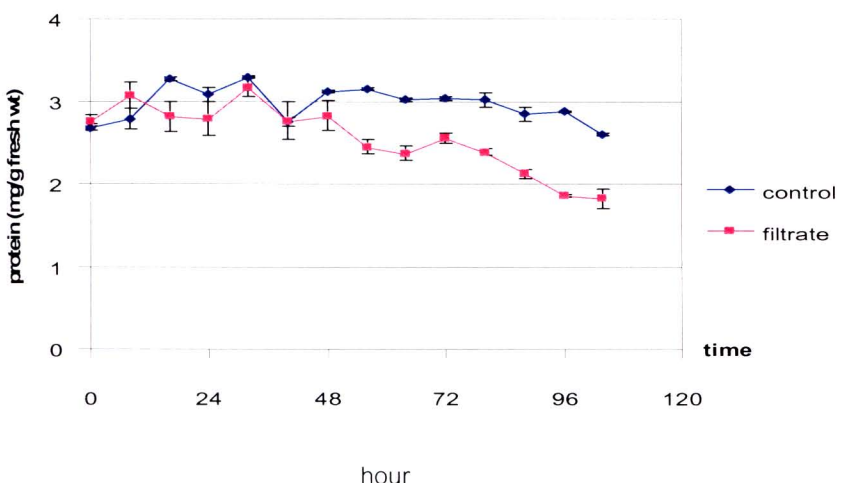
1. ผลการทดสอบความสมบูรณ์ของเชลล์เขวนloy Yangพาราที่เตรียมได้

นำเชลล์เขวนloy Yangพาราที่เตรียมได้ มาปรับสภาพใน MES buffer เป็นเวลา 6 ชม. ก่อนทดสอบกับ culture filtrate ซึ่งมีปริมาณโปรตีนรวม คิดเป็น 0.3 μg ต่อ 1 g เชลล์ เขวนloy แยกตะกอนเชลล์ออกจาก MES buffer เมื่อครบ 0, 8, 16, 24, 32, 40, 48, 56, 64, 72, 80, 88, 96 และ 104 ชม. นำ MES buffer ของแต่ละ time point ไปวัดปริมาณของ Scp ด้วยวิธี spectrofluorometry ส่วนสารสกัดที่ได้จากตะกอนเชลล์นำไปวัดปริมาณ โปรตีนรวมด้วยวิธีของเบรดฟอร์ด และวัดกิจกรรมของเอนไซม์ Peroxidaseโดยใช้ Scp เป็น substrate จึงมีข้อจำกัดว่า Scp peroxidase (S-POD) และใช้ guaiacol เป็น substrate จึงมีข้อจำกัดว่า guaiacol peroxidase (G-POD) ผลการทดลองพบว่าเชลล์ เขวนloyที่เตรียมได้สามารถตอบสนองต่อ culture filtrate ได้ดี เชลล์ถูกกระตุ้นให้มีการ สร้าง Scp และปลดปล่อยออกมายใน MES buffer จำนวนมาก โดยมีปริมาณเพิ่มขึ้น เล็กน้อยที่ 48 ชม. และผลิตได้สูงสุดที่ 80 ชม. หลังจากการกระตุ้น (รูปที่ 6)

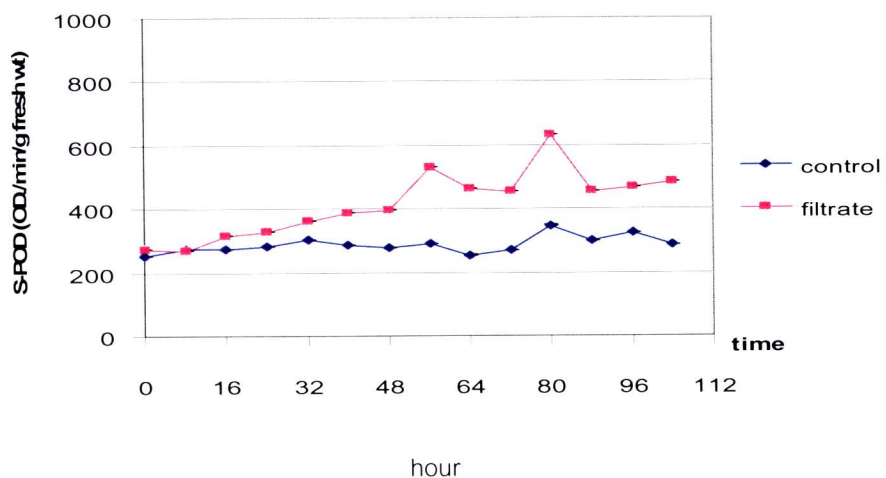
ในการวัดปริมาณโปรตีนรวม พบร่วมปริมาณลดลงอย่างต่อเนื่อง หลังจากทดสอบ ด้วย culture filtrate (รูปที่ 7) ทั้งนี้อาจเป็นเพราะมีโปรตีนบางชนิดถูกส่งออกมานอกเชลล์ (ไม่ได้แสดงผลการทดลอง) เพื่อตอบสนองต่อสารที่มากกระตุ้น นอกจากนี้หากปริมาณของ culture filtrate ที่ใช้มีปริมาณสูงเกินไป จะเกิดการร้าวของเอนไซม์ Peroxidaseและโปรตีนบางส่วน ก็จะทำให้ปริมาณโปรตีนที่วัดได้ภายในเชลล์มีค่าลดลง สำหรับเอนไซม์ Peroxidaseถูก กระตุ้นให้มีการสร้างในปริมาณที่สูงกว่าชุดควบคุม แต่มียอด peak ที่เวลาแตกต่างกัน ขึ้นกับ substrate ที่เลือกใช้ในการทดลอง รูปที่ 8 แสดงค่า S-POD ซึ่งมี kinetics สัมพันธ์ กับการสังเคราะห์ Scp ทั้งนี้อาจเนื่องมาจากความเป็นพิษของ Scp ซึ่งนอกจากมีฤทธิ์ ทำลายเชื้อโรคที่มานุกรูกแล้ว ยังมีพิษต่อเชลล์ที่ชัดเจน จึงต้องกำจัดออกไปด้วยเอนไซม์ จำกัด (S-POD) ซึ่งเลือกใช้ Scp เป็น substrate ส่วนรูปที่ 9 แสดงค่า G-POD ซึ่งมียอด peak ที่ไม่สัมพันธ์กับการสังเคราะห์ Scp เพราะเอนไซม์ชนิดนี้เลือกใช้ guaiacol เป็น substrate



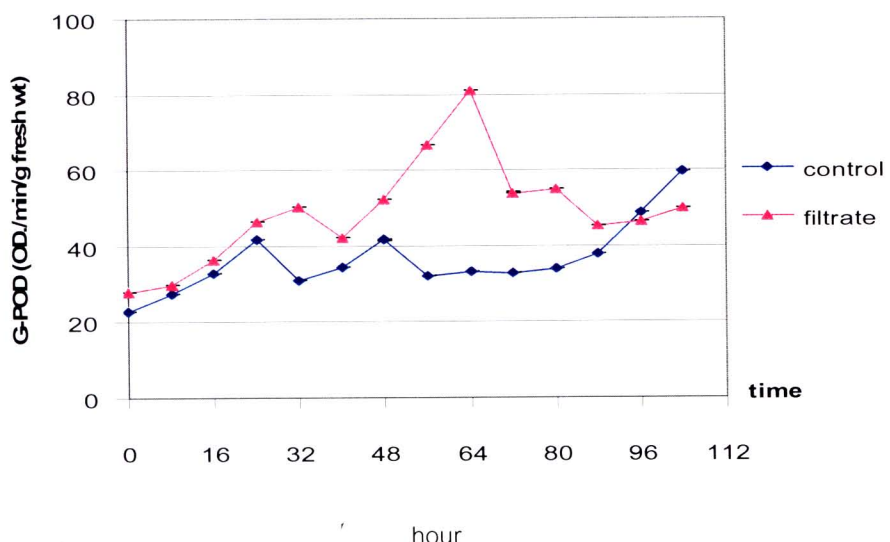
รูปที่ 6 ปริมาณของ Scp หลังจากเซลล์เขวนล oxy ยา งพาราถูกกระตุนด้วย culture filtrate ความเข้มข้น 0.3 μ g ต่อ 1 g เซลล์เขวนล oxy เป็นเวลา 0, 8, 16, 24, 32, 40, 48, 56, 64, 72, 80, 88, 96 และ 104 ชม



รูปที่ 7 ปริมาณของโปรตีนรวมหลังจากเซลล์เขวนล oxy ยา งพาราถูกกระตุนด้วย culture filtrate ความเข้มข้น 0.3 μ g ต่อ 1 g เซลล์เขวนล oxy เซลล์เขวนล oxy เป็นเวลา 0, 8, 16, 24, 32, 40, 48, 56, 64, 72, 80, 88, 96 และ 104 ชม.



รูปที่ 8 ปริมาณของเอนไซม์เปอร์ออกซิเดสหลังจากเซลล์เขวนลดอย่างพารา ถูกกรองตื้นด้วย culture filtrate เมื่อใช้ Scp เป็น substrate

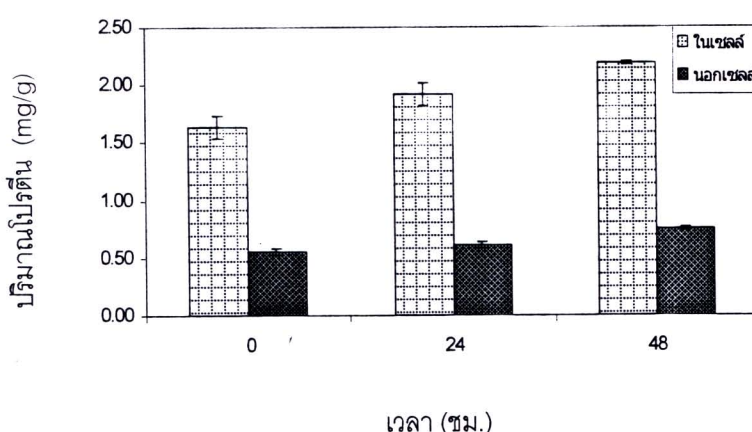


รูปที่ 9 ปริมาณของเอนไซม์เปอร์ออกซิเดสหลังจากเซลล์เขวนลดอย่างพารา ถูกกรองตื้นด้วย culture filtrate เมื่อใช้ guaiacol เป็น substrate

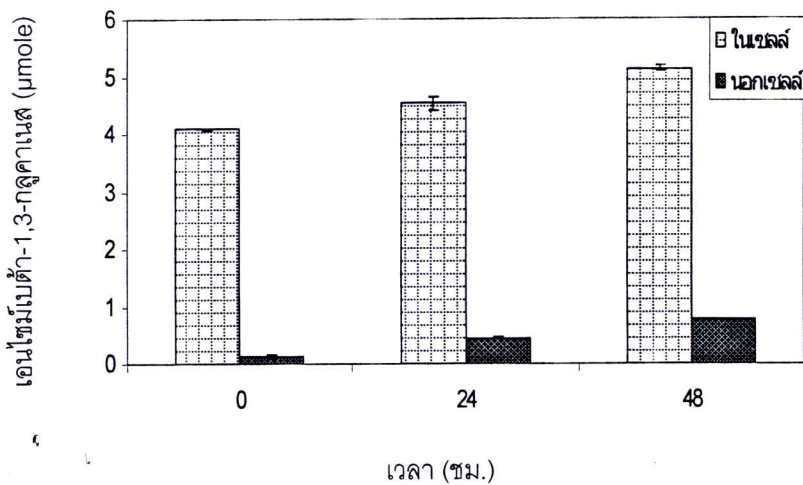
2. การสังเคราะห์ PR-proteins ในเซลล์แขวนลอยยางพารา

2.1 ผลกระทบจากการเขย่าเลี้ยงต่อการสังเคราะห์ PR-proteins

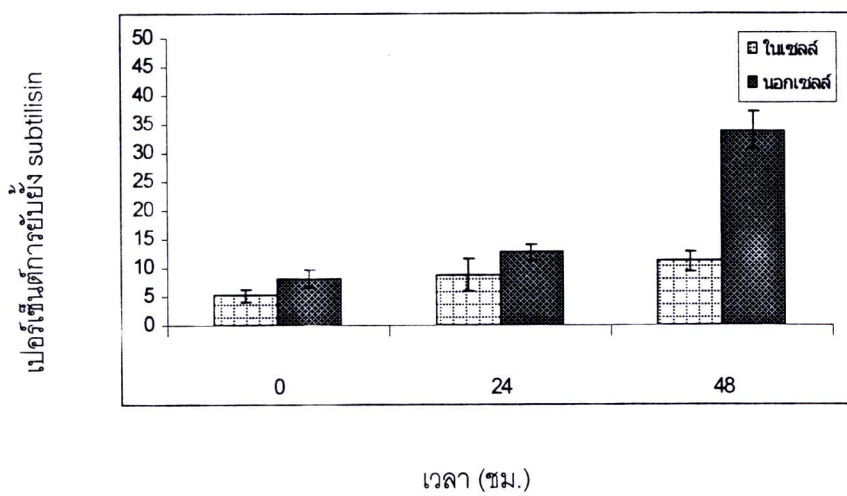
จากการศึกษาเบื้องต้นในข้อ 1 พบร่วมกับการเขย่าเลี้ยงใน MS media เป็นเวลา 24 ชม. ทำให้มีการผลิตโปรตีนรวมในเซลล์แขวนลอยเพิ่มขึ้นค่อนข้างสูงเมื่อเปรียบเทียบกับเซลล์ตั้งต้นที่ 0 ชม. แต่การปรับสภาพโดยการเขย่าเลี้ยงใน MES buffer ทำให้การผลิตโปรตีนรวมเพิ่มขึ้นเพียงเล็กน้อย (ไม่ได้แสดงผลการทดลอง) ผู้วิจัยจึงเลือกใช้การเขย่าเลี้ยงใน MES buffer เพื่อปรับสภาพก่อนทดสอบการระดับด้วย CuSO_4 โดยนำเซลล์แขวนลอยอายุ 14 วัน จำนวน 2.5 g ใน 5 ml ของ MES buffer มาทดลองเขย่าเลี้ยงเป็นเวลา 0, 24 และ 48 ชม. หลังจากแยกตะกอนเซลล์ออกจาก MES buffer นำทั้งสองส่วนไปวัดปริมาณโปรตีนรวม (รูปที่ 10) กิจกรรมของเอนไซม์เบต้า-1,3-กลูคานेस (รูปที่ 11) และ แอคติวิตีของ PI (รูปที่ 12) โดยเลือกใช้ protease ชนิด subtilisin ผลการทดลอง (แสดงเป็นค่าเฉลี่ยจาก 3 การทดลอง \pm SD แต่ละการทดลองทำ 2 ช้ำ) พบร่วมกันในส่วนของตะกอนเซลล์และใน MES buffer ที่ 48 ชม. มีการผลิตโปรตีนรวม เอนไซม์เบต้า-1,3-กลูคานेस และ PI สูงกว่าที่ 0 และ 24 ชม. เมื่อว่าจะมีการเพิ่มขึ้นของ PR-proteins ดังกล่าว แต่ระดับยังไม่สูงมากนัก จึงสามารถใช้ MES buffer ในการปรับสภาพเซลล์ก่อนการทดสอบด้วย CuSO_4 และเมื่อพิจารณาในส่วนที่ส่งออกมานอกเซลล์ (ใน MES buffer) พบร่วงพะ PI เท่านั้นที่มีการส่งออกมานอกเซลล์มากกว่าที่กักเก็บไว้ภายในเซลล์



รูปที่ 10 ปริมาณโปรตีนรวมภายในเซลล์แขวนลอยยางพารา และที่ปลดปล่อยออกมานอกเซลล์ เมื่อย้ายเลี้ยงใน MES buffer ณ เวลา 0, 24 และ 48 ชม. ตามลำดับ



รูปที่ 11 ปริมาณเอนไซม์เบต้า-1,3-กลูคานสภายในเซลล์และนอกเซลล์ เมื่อย้ายเลี้ยงใน MES buffer ณ เวลา 0, 24 และ 48 ชม. ตามลำดับ

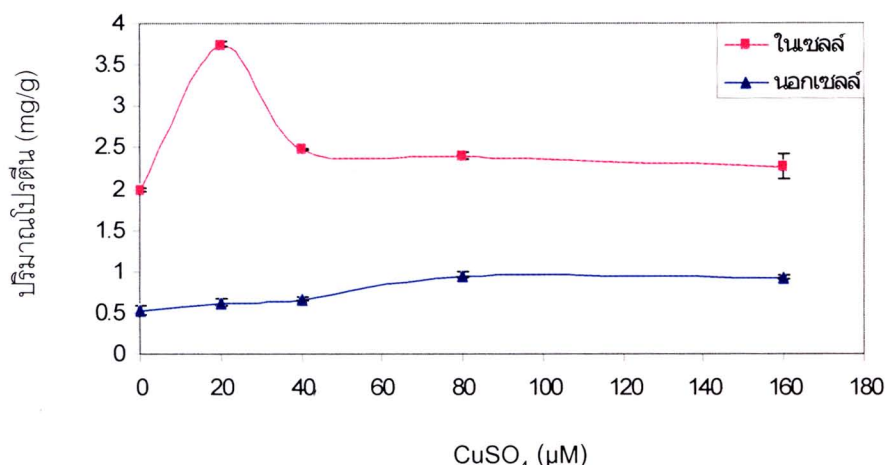


รูปที่ 12 แอคติวิตีของ PI (ต่อ subtilisin) ภายในเซลล์และนอกเซลล์ เมื่อย้ายเลี้ยงใน MES buffer ณ เวลา 0, 24 และ 48 ชม. ตามลำดับ

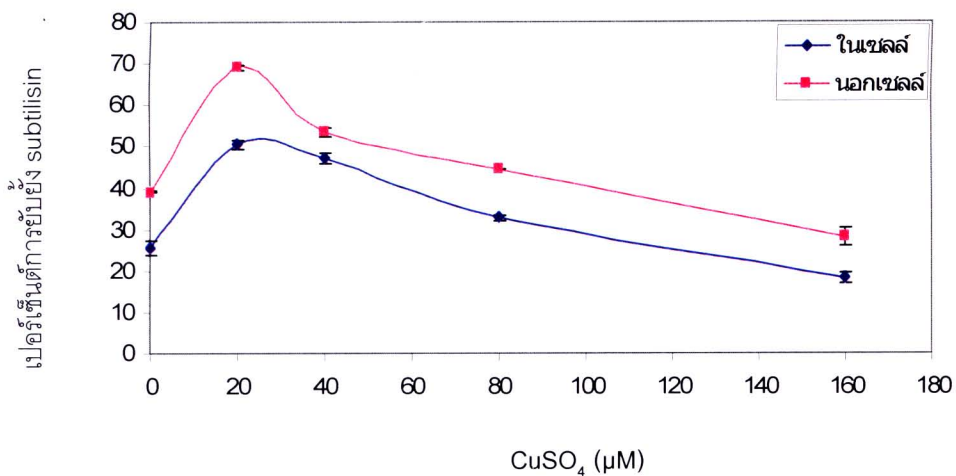
2.2 ผลของ CuSO_4 ต่อการสังเคราะห์โปรตีนรวมและ PI

ต่อมานำวิจัยได้นำเซลล์เขวนโดยอายุ 14 วัน จำนวน 2.5 g ใน 5 ml ของ MES buffer มาบ่มด้วยสารละลาย CuSO_4 ความเข้มข้นต่างๆ 0, 10, 20, 40 80 และ 160 μM เป็นเวลา 1 ชั่วโมง. แล้วนำเขลล์เขวนโดยมาเลี้ยงใน MES buffer ซึ่งไม่มี CuSO_4 อีก 47 ชั่วโมง. (รวมเป็น 48 ชั่วโมง.) จากนั้นแยกตากอนเขลล์ออกจาก MES buffer นำแต่ละส่วนไปวัดปริมาณโปรตีนรวม และแอคติวิตีของ PI ในรายบัญชี subtilisin (แสดงเป็นค่าเฉลี่ยจาก 3 การทดลอง $\pm \text{SD}$ แต่ละการทดลองทำ 2 ชั้ง) พบร่วมกันความเข้มข้นของ CuSO_4 ที่สามารถนำให้เขลล์เขวนโดยมีการสังเคราะห์โปรตีนรวม และ PI เพิ่มขึ้นสูงสุด คือ 20 μM (รูปที่ 13 และ 14)

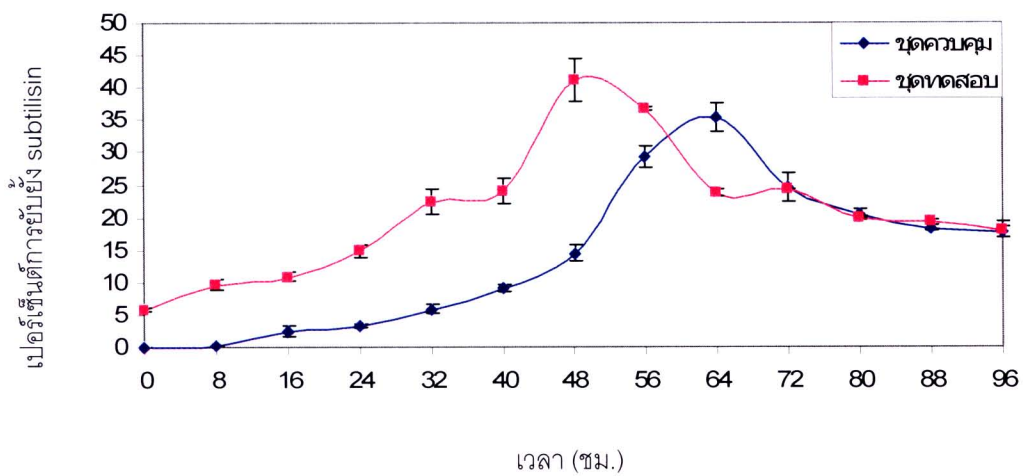
จากนั้นนำความเข้มข้นที่ได้คือ 20 μM มาศึกษาเวลาที่เหมาะสมโดยการกระตุ้นเป็นระยะเวลา 0, 8, 16, 24, 32, 40, 48, 56, 64, 72, 80, 88 และ 96 ชั่วโมง. แล้วเปรียบเทียบกับชุดควบคุม (0 μM) (แสดงเป็นค่าเฉลี่ยจาก 3 การทดลอง $\pm \text{SD}$ แต่ละการทดลองทำ 2 ชั้ง) พบร่วมกัน PI ที่สร้างภายในเขลล์และที่ส่งออกนอกเขลล์ ให้ผลการยับยั้งสูงสุดที่เวลา 48 ชั่วโมง. สำหรับชุดทดสอบ และสูงสุดที่เวลา 64 ชั่วโมง. สำหรับชุดควบคุม (รูปที่ 15 และรูปที่ 16) แสดงว่าการเขย่าเขลล์เขวนโดย (ชุดควบคุม)



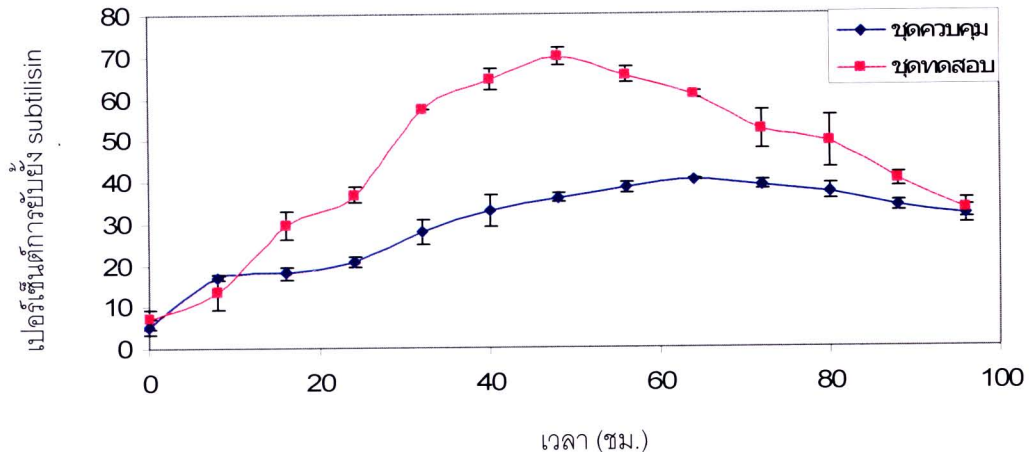
รูปที่ 13 ปริมาณโปรตีนรวมจากส่วนของตากอนเขลล์ และส่วนที่ส่งออกนอกเขลล์ ณ เวลา 48 ชั่วโมง เมื่อกระตุ้นด้วย CuSO_4 ความเข้มข้นต่างๆ



រូបថែរ 14 ផែតិវិធីទំនួញ PI (ព័ត៌មាន subtilisin) ពីសាកសាដសម្រាប់តាមការងារប្រយ័ត្ន នកខែល និងនិមិត្ត នៅក្នុង CuSO₄ ដែលរាយការណ៍នៅក្នុង 48 ម៉ោង និងក្នុង 160 μM CuSO₄ ។



រូបថែរ 15 ផែតិវិធីទំនួញ PI (ព័ត៌មាន subtilisin) ពីសាកសាដសម្រាប់តាមការងារប្រយ័ត្ន នកខែល និងនិមិត្ត នៅក្នុង CuSO₄ 20 μM នៅពេលវេលាជាច្វើ និងក្នុង 160 μM CuSO₄ ។

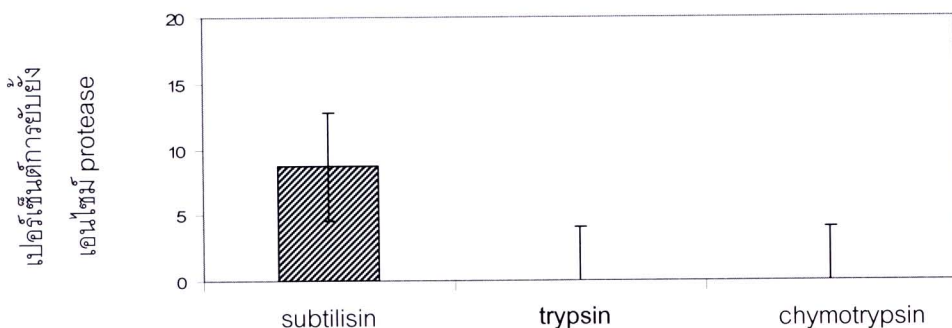


รูปที่ 16 แอคติวิตี้ของ PI (ต่อ subtilisin) จากส่วนที่ถูกส่งออกมานอกเซลล์ ซึ่งผ่านการกระตุ้นด้วย CuSO_4 20 μM ณ เวลาต่างๆ กัน ระหว่างชุดทดสอบและชุดควบคุม

3. ผลการศึกษา PI ในเซลล์แขวนลอยยางพารา

3.1 ศึกษาความจำเพาะของ PI ใน การเลือกจับกับเอนไซม์ protease เป้าหมาย

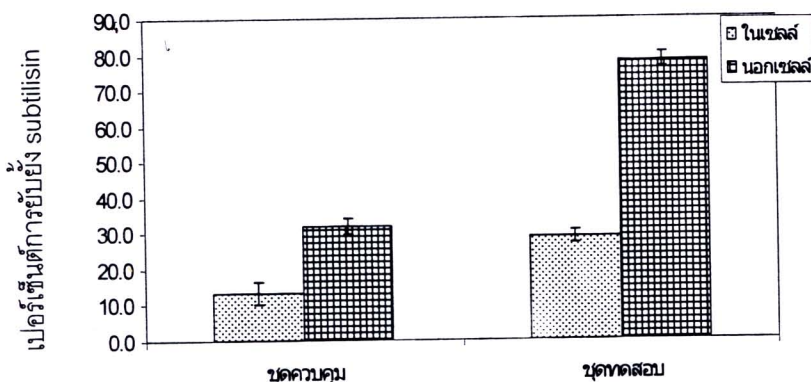
เมื่อนำเซลล์แขวนลอยยางพารา มาศึกษาความจำเพาะในการเลือกจับกับเอนไซม์ protease ชนิดต่างๆ ได้แก่ trypsin (0.4 μg), chymotrypsin (0.4 μg) และ subtilisin (0.9 μg), จำนวน μg ในวงเล็บเป็นปริมาณที่แต่ละเอนไซม์สามารถย่อย 1% azocasein (w/v) ได้ใกล้เคียงกัน และให้ค่าการดูดกลืนแสงอยู่ในช่วง O.D. ของกราฟมาตรฐาน จากผลการวิเคราะห์พบว่าสารสกัดจากเซลล์แขวนลอยยางพารา ให้ผลยับยั้งการทำงานของเอนไซม์ subtilisin แต่ไม่มีผลยับยั้งการทำงานของเอนไซม์ trypsin และ chymotrypsin (รูปที่ 17)



รูปที่ 17 แอคติวิตี้ของ PI จากเซลล์แขวนลอยยางพารา ต่อเอนไซม์ protease ชนิดต่างๆ (แสดงเป็นค่าเฉลี่ยจาก 3 การทดลอง \pm SD แต่ละการทดลองทำ 2 ช้ำ)

3.2 การเตรียมสารตั้งต้นเพื่อใช้ในการ purify PI

ผู้วิจัยมีความสนใจจะ purify PI ทั้งในส่วนของตะกอนเซลล์และในส่วนที่ส่งออกมานอกเซลล์ แต่ในเบื้องต้นจะเลือก purify PI ในส่วนที่ส่งออกมานอกเซลล์ก่อน เพราะมีแอกซิติวิตีสูงกว่าและมีโปรตีนรวมที่ปนเปื้อนต่ำกว่า ในการเตรียมสารตั้งต้นผู้วิจัยเลือกใช้ condition ที่ได้จากข้อ 2.2 คือทำการกระตุ้นเซลล์ด้วย CuSO_4 20 μM เป็นเวลา 48 ชม. พบว่าได้สารตั้งต้นที่มี PI สูงกว่าชุดควบคุมทั้งในส่วนของตะกอนเซลล์และในส่วนที่ส่งออกมานอกเซลล์ประมาณ 2-3 เท่า (รูปที่ 18) จากนั้นนำเข้าพำสูนที่อยู่นอกเซลล์ไปทำบริสุทธิ์ เพื่อศึกษาคุณลักษณะต่อไป



รูปที่ 18 แอกซิติวิตีของ PI ระหว่างชุดควบคุมและชุดทดสอบ จากส่วนของตะกอนเซลล์และส่วนที่ส่งออกมานอกเซลล์ เมื่อกระตุ้นด้วย CuSO_4 20 μM ที่เวลา 48 ชม.

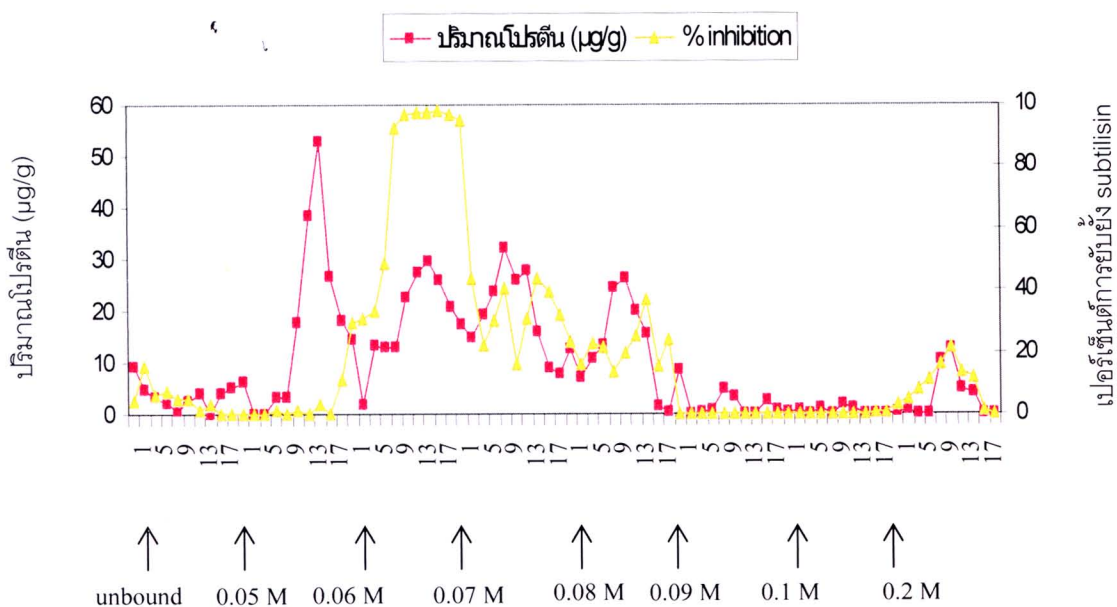
4. การทำบริสุทธิ์ PI

4.1 ผลจากการผ่านคอลัมน์ ion exchange แบบ anionic

กรองเซลล์แขวนลอยที่ถูกกระตุ้นด้วย CuSO_4 20 μM เป็นเวลา 48 ชม. นำ 400 ml ของส่วนที่ส่งออกมานอกเซลล์มาผ่านคอลัมน์ DEAE-sepharose CL-6B ปริมาตรคอลัมน์ 25 ml ใช้คอลัมน์ด้วยเกลือ NaCl 0.05, 0.06, 0.07, 0.08, 0.09, 0.1 และ 0.2 M ใน 20 mM Tris-HCl, pH 7.0 อัตราการไหล 0.5 ml ต่อนาที เก็บตัวอย่างหลอดละ 3 ml ตรวจพบโปรตีนที่ความเข้มข้นเกลือ 0.05, 0.06, 0.07, 0.08 และ 0.2 M โดยพบโปรตีนสูงสุด ที่ 0.05 M แต่พบแอกซิติวิตีของ PI สูงสุดที่ความเข้มข้นเกลือ 0.06 M (หลอดที่ D45-60, D หมายถึง DEAE-sepharose CL-6B) (รูปที่ 19) จึง pool สารตัวอย่างจากหลอดดังกล่าวไปทำบริสุทธิ์ต่อไป

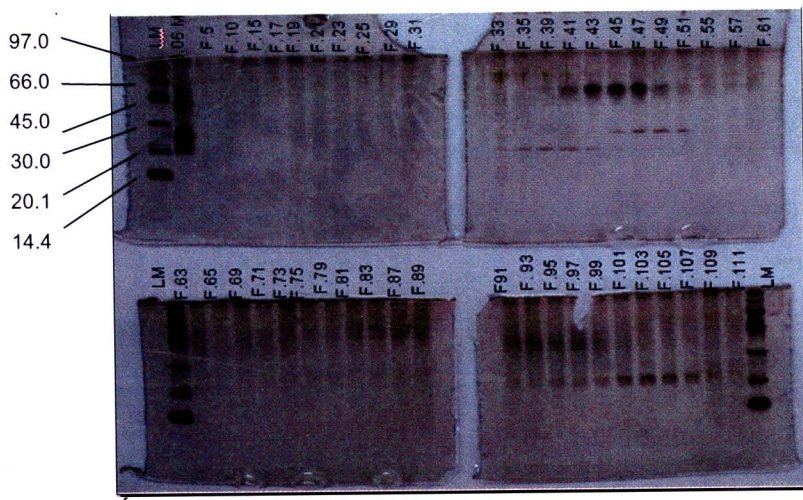
4.2 การทำริสุทธิ์ด้วยวิธี Native-preparative gel electrophoresis

นำตัวอย่างที่ผ่านขั้นตอนการทำบิสุทธิ์ด้วยวิธี ion-exchange (ตัวอย่างจากหลอดที่ D45-60) มาผ่านคอลัมน์แบบ Native-preparative gel electrophoresis ซึ่งมีความสูงของ stacking gel 2.5 ซม. และ separating gel 6 ซม. เก็บตัวอย่างโดยใช้อัตราการไหล 1 ml ต่อนาที และเก็บตัวอย่างหลอดละ 3 ml จากนั้นผสมตัวอย่างจากแต่ละหลอดๆละ 30 μl กับ dye 10 μl แล้ว load ลงเจลอะลูเมติกแบบ Tricine-SDS-PAGE และย้อมด้วยซิลเวอร์ในเตรท พบรูปแบบโปรตีนดังแสดงในรูปที่ 20

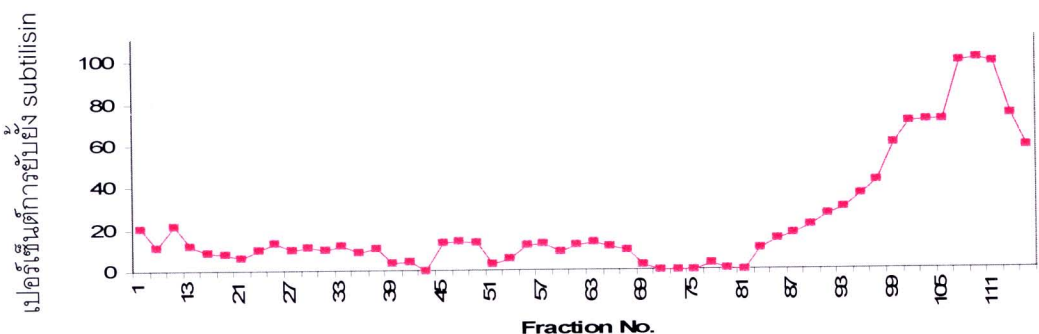


รูปที่ 19 ปริมาณโปรตีนและแอคติวิตี้ของ PI หลังผ่านคอลัมน์ DEAE-sepharose CL-6B

เมื่อนำแต่ละ fraction ที่ผ่านการทำ purify ด้วยวิธี Native-preparative gel electrophoresis มาวัดเปอร์เซ็นต์การยับยั้ง subtilisin พบร่วงแต่หลอดที่ 91 ถึงหลอด 111 มีแอคติวิตี้ของ PI (รูปที่ 21) (N91-111, N หมายถึง Native-preparative gel electrophoresis) แต่ยังมีโปรตีนอื่นประปนจึงต้องนำไปทำบิสุทธิ์ในขั้นตอนต่อไป



รูปที่ 20 แบบแผนโปรตีนจากตัวอย่างที่ผ่านการทำบริสุทธิ์ด้วยวิธี Native-preparative gel electrophoresis หลังจาก load ลงเจลอิเลคโทรโพเรซีสแบบ Tricine-SDS-PAGE และย้อมด้วยซิลเวอร์ในเตรท LM : low molecular weight ของบริษัท Amersham (14.4 - 97 KDa), F. : fraction number, 0.06 M : ตัวอย่างที่ผ่าน colloamn ion-exchange และชำระด้วยเกลือ 0.06 M (ตัวอย่างจากหลอดที่ D45-60)



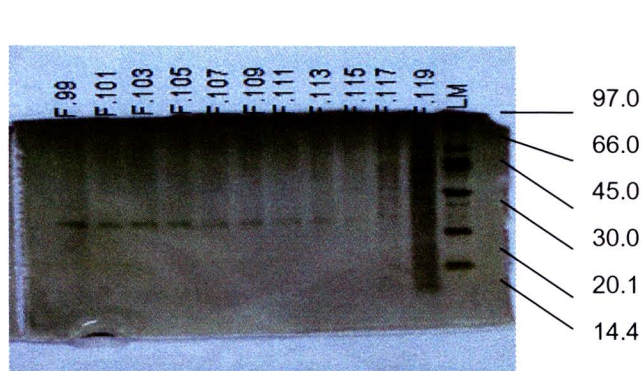
รูปที่ 21 เปอร์เซ็นต์การบันยั่ง subtilisin จากตัวอย่างในแต่ละหลอดที่ผ่านการทำบริสุทธิ์แบบ Native-preparative gel electrophoresis

4.3 การทำบริสุทธิ์ด้วยวิธี SDS-preparative gel electrophoresis

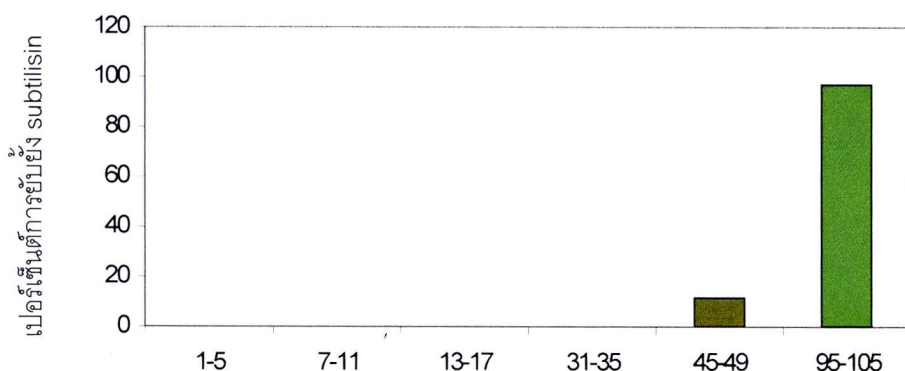
นำตัวอย่างหลอดที่ N91 – 111 (จากข้อ 4.2) ซึ่งให้ผลต่อการบันยั่ง subtilisin สูงมาผ่าน colloamn แบบ SDS-preparative gel electrophoresis และเก็บตัวอย่างเช่นเดียวกันกับวิธี Native-preparative gel electrophoresis จากนั้นนำตัวอย่างจากแต่ละ

หลอด load ลงเจลอิเลคโทรโพรีซึสแบบ Tricine-SDS-PAGE และย้อมด้วยซิลเวอร์ในเตรทพบແນບໂປຣຕິນດັ່ງແສດງໃນຮູບທີ 22

ສ່າງຕ້ວອຍ່າງທີ່ໄດ້ຈາກການ purify ດ້ວຍວິທີນີ້ມີ SDS ເປັນສ່ວນຜສມ ຫຼຶງຈະຮັບກວນກາຮວດແອຄຕິວີຕີຂອງ PI ໃນການກຳຈັດ SDS ອອກໄປ ຕ້ອງ pool ຮວມຕ້ວອຍ່າງຈາກແຕ່ລະແນບ ໂປຣຕິນ ຄືອໜຸດທີ່ S1-5, S7-11, S13-17, S31-35, S45-49 ແລະ S95-105 (S ມາຍເຖິງ SDS-preparative gel electrophoresis) ແລ້ວນໍາຕ້ວອຍ່າງທີ່ pool ຮວມກັນຈາກແຕ່ລະຫຼຸດມາເຕີມ sucrose ໃຫ້ມີຄວາມເຂັ້ມຂັ້ນສຸດທ້າຍເປັນ 4% ຈາກນັ້ນນໍາໄປຕົກຕະກອນໂປຣຕິນດ້ວຍອະຫຼື ໂຕນ ແລ້ວລະລາຍກລັບດ້ວຍນໍາກລັນແລະທດສອບກາຍັບຍັງ subtilisin ພບວ່າຕ້ວອຍ່າງທີ່ pool ຮວມກັນຈາກຫຸດທີ່ S95-105 ໃຫ້ຜລກາງຍັບຍັງສູງສຸດ (ຮູບທີ່ 23)



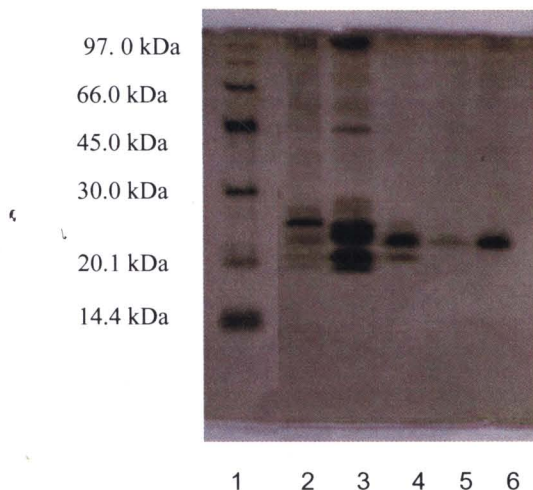
ຮູບທີ່ 22 ແບບແພນໂປຣຕິນຈາກຕ້ວອຍ່າງທີ່ຜ່ານການທຳບັນດຸກໂດຍວິທີ SDS-preparative gel electrophoresis ລັງຈາກ load ลงเจලອີເລັກໂປຣີສແບບ Tricine-SDS-PAGE ແລະຍົມດ້ວຍຊີლເວອຣີໃນເຕຣທ LM : low molecular weight ຂອງບິ່ຊ້າ Amersham (14.4 - 97 KDa)



ຮູບທີ່ 23 ເປົ້າງຕ້ວອຍ່າງທີ່ກາຍັບຍັງ subtilisin ຈາກຕ້ວອຍ່າງຫຸດທີ່ S1-5, S7-11, S13-17, S31-35, S45-49 ແລະ S95-105 ລັງຜ່ານ SDS-preparative gel electrophoresis

เมื่อนำไปรีดจากแต่ละขั้นตอนการทำบริสุทธิ์มาทดสอบแบบแคน โดย load ลงเจลอะลูมิโนเลคโทรโพเรชันแบบ Tricine-SDS-PAGE และย้อมด้วยซิลเวอร์ไนเตรท พบร่องแบบโปรตีนลดลงไปในแต่ละขั้นตอนของการทำบริสุทธิ์ จนเหลือแคบโปรตีนเพียงแคบเดียวมีขนาดโมเลกุล 25 kDa (รูปที่ 24) คิดเป็นปริมาณโปรตีน 3.14×10^{-3} mg/g เชลล์เขวนโดย

LM Crde DEAE NT SDS Acet



รูปที่ 24 แบบแคนโปรตีนจากตัวอย่างแต่ละขั้นตอนการทำบริสุทธิ์ หลังจากทำอะลูมิโนเลคโทรโพเรชันแบบ Tricine-SDS-PAGE และย้อมด้วยซิลเวอร์ไนเตรทเมื่อ lane 1 : Low molecular weight ของบริษัท Amersham (14.4 - 97 kDa), lane 2 : crude extract, lane 3 : ตัวอย่างจาก colloidalion-exchange ที่จะด้วยเกลือ 0.06 M, lane 4 : ตัวอย่างซึ่งผ่าน colloidalNative-preparative gel electrophoresis, lane 5 : ตัวอย่างซึ่งผ่าน SDS-preparative gel electrophoresis และ lane 6 : ตัวอย่างจาก SDS-preparative gel electrophoresis หลังจากตกรตะกอนด้วยอะซีโตน

5. การศึกษาคุณสมบัติของ PI บริสุทธิ์

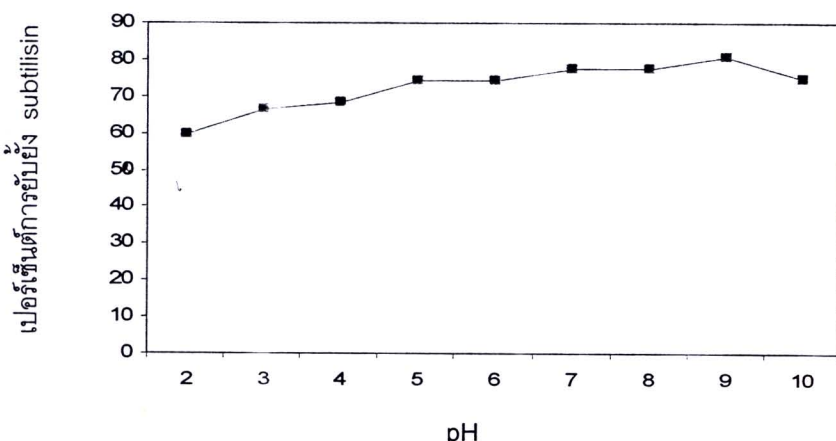
5.1 ศึกษาความคงตัวที่ pH ต่างๆ

เมื่อศึกษาความคงตัวของ PI บริสุทธิ์ที่ pH 2, 3, 4, 5, 6, 7, 8, 9 และ 10 โดยใช้ PI ปริมาณ $0.314 \mu\text{g}$ ทดสอบยับยั่ง subtilisin พบร้า PI ค่อนข้างเสียหายในสภาวะที่เป็นกรดและเป็นเบส (คงทนต่อ pH 2-10) แต่จะทำงานได้ดีกว่าในสภาวะที่เป็นเบส และทำงาน

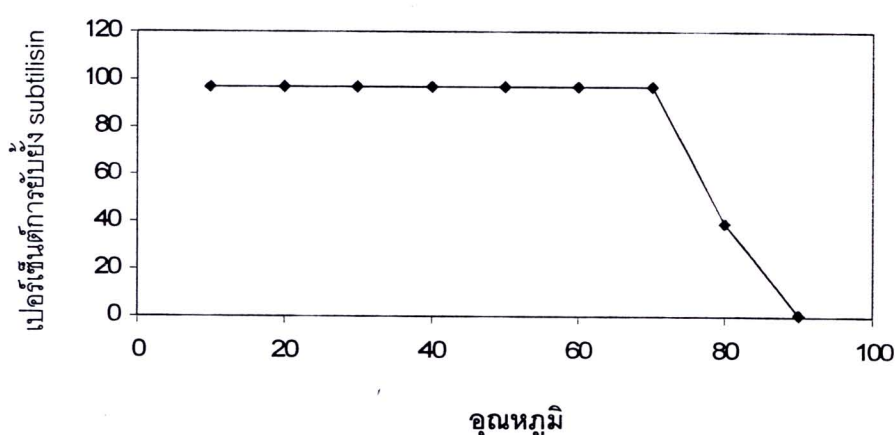
ได้สูงสุดที่ pH 9 (รูปที่ 25) แสดงว่า PI ที่ได้จากส่วนที่ปลดปล่อยออกนออกเซลล์เขวนลอย ยางพารามีความคงทนต่อ pH และจะทำงานได้ดีในสภาพที่เป็นเบส

5.2 ศึกษาความคงตัวที่อุณหภูมิต่างๆ

นำ PI บริสุทธิ์ 0.314 μg มาทดสอบความคงตัวที่อุณหภูมิต่างๆ คือ 10, 20, 30, 40, 50, 60, 70, 80 และ 90 $^{\circ}\text{C}$ พบร่วมกับ PI ที่ได้จากส่วนที่ส่งออกมานอกเซลล์ เขวนลอยยางพาราสามารถทนอุณหภูมิได้สูงถึง 70 $^{\circ}\text{C}$ (รูปที่ 26)



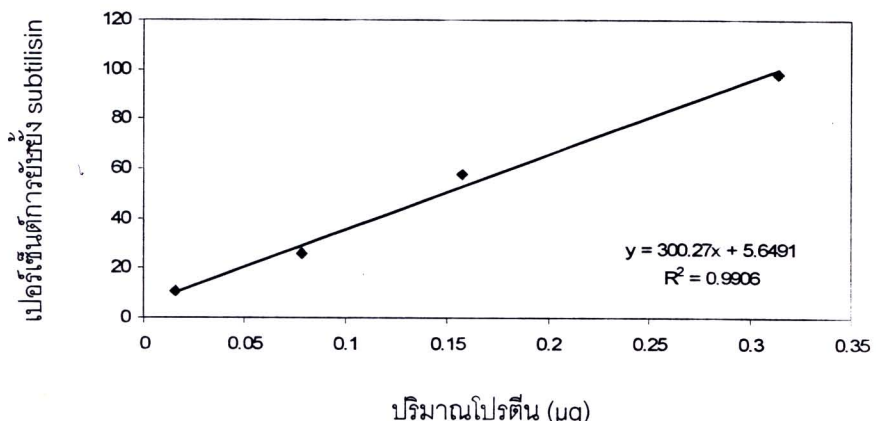
รูปที่ 25 เปอร์เซ็นต์การยับยั้ง subtilisin ของ PI บริสุทธิ์ ที่ pH 2-10



รูปที่ 26 เปอร์เซ็นต์การยับยั้ง subtilisin ของ PI บริสุทธิ์ ที่อุณหภูมิ 10, 20, 30, 40, 50, 60, 70, 80 และ 90 $^{\circ}\text{C}$

5.3 การยับยั้ง subtilisin ได้เป็นครึ่งหนึ่งของการยับยั้งทั้งหมด (IC_{50})

นำ PI บริสุทธิ์มาทดสอบหาปริมาณที่สามารถยับยั้ง subtilisin ได้เป็นครึ่งหนึ่งของการยับยั้งทั้งหมด (IC_{50}) โดยใช้ PI ปริมาณต่างๆ คือ 0.0157, 0.0785, 0.157 และ 0.314 μg พบว่า PI บริสุทธิ์ 0.167 μg ใน 600 μl (หรือ 6.68 pmole ใน 600 μl) สามารถยับยั้ง subtilisin ได้เป็นครึ่งหนึ่งของการยับยั้งทั้งหมด ดังนั้นค่า IC_{50} ของ PI ที่ได้รีบมีค่า 11.13 nM (รูปที่ 27)



รูปที่ 27 การยับยั้ง subtilisin ด้วย PI (μg) ปริมาณต่างๆ

5.4 ผลของ PI ต่อการเจริญเติบโตของเชื้อ *P. palmivora*

ผลของ PI บริสุทธิ์ต่อการเจริญเติบโตของเชื้อ *P. palmivora* ทำการศึกษาโดยการสังเกตการออกซูโอลิสปอร์ (germination) และการยึดเยียวยาของ mycelium รวมทั้งการยับยั้งการเจาะเข้าทำลายใบยางพารา โดยผสม PI บริสุทธิ์ 500 ng กับซูโอลิสปอร์ของเชื้อ *P. palmivora* ความเข้มข้น 5×10^4 ซูโอลิสปอร์/ ml ในอัตราส่วน 4:1 (ปริมาตรรวม 100 μl) คิดเป็นความเข้มข้นสุดท้ายของ PI เท่ากับ 5 $\mu\text{g}/\text{ml}$ หรือ 0.2 μM และความเข้มข้นสุดท้ายของเชื้อคือ 1×10^4 ซูโอลิสปอร์/ ml และบ่มทิ้งไว้เป็นเวลา 2 ชม. ก่อนนำไปส่องไฟกล้องจุลทรรศน์ เพื่อสังเกตการเกิด germination นับจำนวนเชื้อที่ออกได้แตกต่างกันเปรียบเทียบกับชุดควบคุมซึ่งเป็นน้ำกลั่น พบว่า PI มีผลยับยั้ง เพราะซูโอลิสปอร์ส่วนใหญ่ไม่ออกพร้อมกับพับเศษเซลล์จำนวนมากคิดเป็น 66 % ซูโอลิสปอร์ที่ออกได้ปานกลางคือไม่เกิน 50 μm (รูปที่ 28) คิดเป็น 31 % และมีเพียงเล็กน้อยเท่านั้นที่การออกเกิดขึ้นอย่างสมบูรณ์ คือมีความยาวประมาณ 50-80 μm (รูปที่ 28) คิดเป็น 3 % ในขณะที่ชุดควบคุม

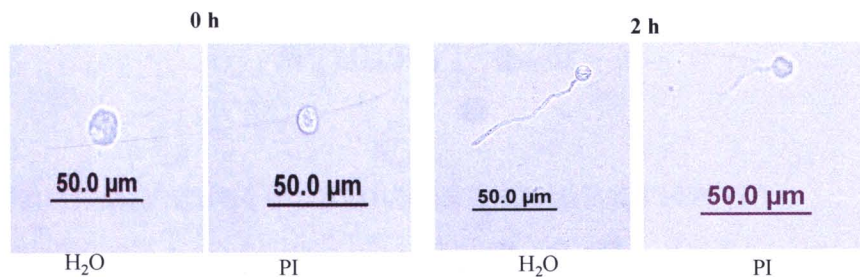
พบเชษเชล์น้อย ชูโสปอร์ทไม่งอกคิดเป็น 27 % ชูโสปอร์ทงอกได้ปานกลางคิดเป็น 36 % และที่การออกของเกิดขึ้นอย่างสมบูรณ์คิดเป็น 37 % ดังแสดงในตารางที่ 7

การศึกษาการยึดยาวของ mycelium บนพาดอาหาร PDA พบรวม PI มีผลยับยั่ง การเจริญเติบโตของเชื้อ *P. palmivora* อย่างชัดเจน (รูปที่ 29 a) ในตารางที่ 7 แม้ว่าชูโสปอร์ในชุดทดสอบมากกว่า 30 % เกิด germination ได้ แต่เมื่อนำมาเลี้ยงบนอาหาร PDA มีการยึดยาวของ mycelium น้อยมาก และเพื่อให้หยดชูโสปอร์มีลักษณะกลม ผู้วิจัยจึงใช้วิธีหยดลงบนแผ่นกระดาษกรองขนาดเส้นผ่าศูนย์กลาง 0.5 ซม. ดังนั้นผลการทดลอง จากรูปที่ 29 a อาจทำให้เข้าใจผิดว่าในชุดที่มี PI ยังคงมีการยึดยาวของ mycelium ประมาณ 0.5 ซม. และเมื่อทดลองกับใบยางพาราพบว่าขนาดของ necrosis หรือรอยโรคลดลงจนเกือบมองไม่เห็น (รูปที่ 29 b)

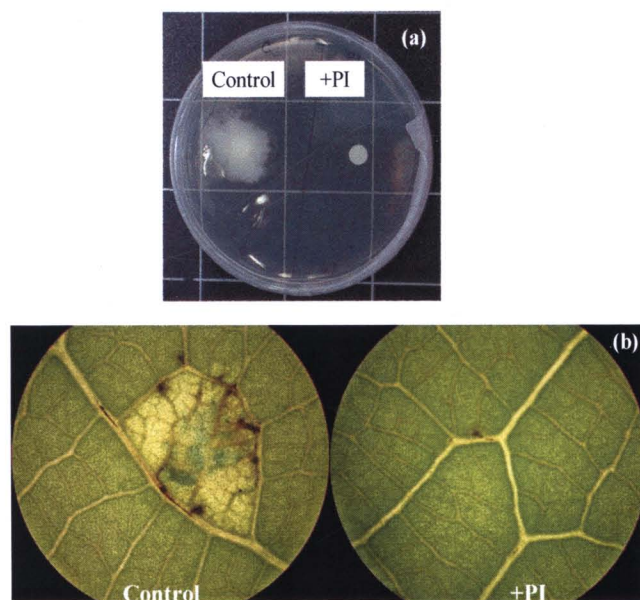
ตารางที่ 7 เปรียบเทียบลักษณะการออกของชูโสปอร์ของเชื้อ *P. palmivora* ระหว่างชุดควบคุมและชุดทดสอบ เมื่อส่องดูภายใต้กล้องจุลทรรศน์หลังจากบ่มด้วย PI เป็นเวลา 2 ชม.

ลักษณะของการออก	%การออก	
	ชุดควบคุม	ชุดทดสอบ
ชูโสปอร์ไม่งอก	27 %	66 %
ชูโสปอร์งอกได้ปานกลาง	36 %	31 %
ชูโสปอร์งอกได้สมบูรณ์	37 %	3 %

(ตัวเลขที่แสดงเป็นค่าเฉลี่ยจาก 3 การทำทดลอง)



รูปที่ 28 แสดงการงอกของซูโคสปอร์ของเชื้อ *P. palmivora* เปรียบเทียบระหว่างชุดควบคุม และชุดทดสอบ หลังจากทิ้งไว้เป็นเวลา 2 ชม. เมื่อสองภายใต้กล้องจุลทรรศน์กำลังขยาย 40 เท่า



รูปที่ 29 แสดงการเจริญเติบโตของเชื้อ *P. palmivora* เปรียบเทียบระหว่างชุดควบคุม และชุดทดสอบ (a) หลังจากเลี้ยงไว้บน PDA เป็นเวลา 5 วัน (b) หลังจากวางบนใบยางพารา เป็นเวลา 2 วัน